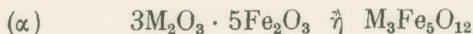


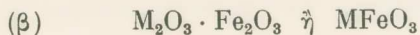
ΧΗΜΕΙΑ.— 'Ημιαγωγικές ιδιότητες καὶ καταλυτική δράση φερριτῶν τῶν στοιχείων τῆς σειρᾶς τῶν λανθανιδῶν, ὑπὸ 'A. J. Χαραλάμπους - Z. Λοΐζου - N. Σπυρέλλη - P. Σακελλαρίδη*, διὰ τοῦ Ἀκαδημαϊκοῦ κ. Π. Σακελλαρίδη.

1. ΕΙΣΑΓΩΓΗ

Οἱ φερρίτες τῶν στοιχείων τῆς σειρᾶς τῶν λανθανιδῶν εἰναι μικτὰ δξείδια σιδήρου καὶ ἐνὸς μετάλλου τῆς σειρᾶς τῶν λανθανιδῶν, ποὺ περιγράφονται ἀπὸ τοὺς ἀκολούθους δύο γενικοὺς τύπους:



οἱ ὅποῖοι χαρακτηρίζονται ὡς φερρίτες δομῆς γρανάτη ἢ γρανάτες, καὶ



οἱ ὅποῖοι χαρακτηρίζονται ὡς φερρίτες δομῆς περοφσκίτη ἢ δρθιοφερρίτες (*M. M. Schieber, 1967*).

Οἱ φερρίτες τῆς σειρᾶς τῶν λανθανιδῶν χαρακτηρίζονται ἀπὸ ἐνδιαφέρουσες μαγνητικές καὶ ἡλεκτρικές ιδιότητες. Οἱ μαγνητικές ιδιότητες τῶν δύο παραπάνω τύπων φερριτῶν εἰναι πολὺ διαφορετικές. Πράγματι, οἱ μὲν δρθιοφερρίτες εἰναι ὀντισιδηρομαγνητικὰ ὄλικά, ἐνῷ οἱ γρανάτες εἰναι σιδηρομαγνητικὰ ὄλικά (*H. Forestier, G. Guillot-Guillain, 1950. R. M. Bozorth et al., 1958. G. Gorodetsky et al., 1968. R. Pauthenet, 1958. K. Καγκαράκης 1986*).

'Απὸ τὶς μελέτες, ποὺ ἀφοροῦν στὶς ἡλεκτρικές ιδιότητες τῶν γρανατῶν (*H. B. Lal, B. K. Verma, V. R. Yadava, 1982. V. R. Yadava, H. B. Lal, 1979. P. K. Larsen, R. Met-selaar, 1979. Ya. M. Ksendsov et al., 1974. D. Elwell, A. Dixon, 1968. V. R. Yadava, 1980 κ.ἄ.*), προκύπτει ὅτι ἡ ἡλεκτρικὴ ἀγωγιμότητά τους ὀφείλεται στὴν παρουσία ὀπῶν. Οἱ φορεῖς αὐτοὶ ἡλεκτρικῆς ἀ-

* A. J. HARALAMBOUS - Z. ΛΟΪΖΟΣ - N. SPYRELLIS - P. SAKELLARIDIS, **Semiconductive properties and catalytic behavior of ferrites of the rare earth elements.**

για γιαμότητας άντιστοιχούν στήν παρουσία μεταλλοκατιόντων Fe^{4+} , τὰ όποια προκύπτουν άπό άταξίες τοῦ κρυσταλλικοῦ πλέγματος. Ἡ άπαντουμένη ἐνέργεια ἐνεργοποιήσεως τῆς ήμιαγωγιμότητας τύπου **P**, ἡ όποια παρέχεται μὲ τὴν αὔξηση τῆς θερμοκρασίας, ἐπιτρέπει, λόγω τῆς παρουσίας τῶν παραπάνω μεταλλοκατιόντων, τὴ μεταπήδηση ἡλεκτρονίων πρὸς αὐτὰ ἀπὸ γειτονικὰ μεταλλοκατιόντα Fe^{3+} μὲ ἀποτέλεσμα τὴν πραγματοποίησην κινήσεως θετικῶν ὀπῶν. Οἱ γρανάτες, πάντως, στὴ συνήθη θερμοκρασία εἶναι μονωτές. Οἱ τιμὲς τῆς εἰδικῆς ἡλεκτρικῆς ἀγωγιμότητας τῶν γρανατῶν τῶν βαρέων λανθανιδῶν κυμαίνονται μεταξὺ 10^{-9} καὶ $10^{-1} \Omega^{-1}m^{-1}$ σὲ θερμοκρασίες μεταξὺ 450 καὶ 1200 K. Ἡ ἡλεκτρικὴ τους ἀγωγιμότητα ὀφείλεται, ἐπομένως, στὸν ήμιαγωγικὸ χαρακτήρα τους. Ἐξάλλου, ἡ ἐνδογενῆς ήμιαγωγιμότητα ἀποτελεῖ τὸ 9% τῆς συνολικῆς γιὰ τὴν παραπάνω θερμοκρασιακὴ περιοχὴ ἡλεκτρικῆς ἀγωγιμότητας. Ἡ ὑπαρξη τῶν μεταλλοκατιόντων Fe^{4+} ἔχει ἐπιβεβαιωθεῖ καὶ ἀπὸ μαγνητικὲς μελέτες (V. R. Yadava - H. B. Lal, 1979).

Ἄπὸ τὶς ἀντίστοιχες μελέτες, ποὺ ἀφοροῦν στὶς ἡλεκτρικὲς ἴδιότητες τῶν ὄρθιοφερριτῶν τῶν λανθανιδῶν (G. H. Jonker, 1954 καὶ G. V. Subba Rao, B. M. Wanklyn, C. N. Rao, 1971), ἡ ήμιαγωγιμότητα τύπου **P** τῶν ὑλικῶν αὐτῶν ἀποδίδεται ἐπίσης στήν παρουσία μεταλλοκατιόντων Fe^{4+} λόγω τῆς ὑπάρξεως ἀταξίῶν στὸ κρυσταλλικὸ πλέγμα τους.

Ἡ παρουσία ἀταξίῶν στὸ κρυσταλλικὸ πλέγμα τῶν ὄρθιοφερριτῶν καὶ τῶν γρανατῶν προκύπτει ἀπὸ τὴ διαδικασία βαφῆς (ἀπότομης ψύξης), ποὺ ἐφαρμόζεται κατὰ τὴν παρασκευὴ φερριτῶν ὄρισμένης συστάσεως. Κατὰ τὴ διαδικασία αὐτὴ εἶναι δυνατὸ νὰ ἀπορροφηθεῖ περισσότερο ὀξυγόνο μὲ ἀποτέλεσμα τὴ δημιουργία κενῶν πλεγματικῶν θέσεων μεταλλοκατιόντων.

Στήν ἐργασία αὐτὴ γιὰ τὴ μελέτη τοῦ ήμιαγωγικοῦ χαρακτήρα τῶν φερριτῶν τῶν λανθανιδῶν ἐπιλέχθηκαν ὄρισμένα ἀντιπροσωπευτικὰ δείγματα φερριτῶν (ὄρθιοφερριτῶν καὶ γρανατῶν ἐρβίου) καὶ μετρήθηκε τὸ εῦρος τῆς ἀπαγορευμένης ζώνης μὲ κατάλληλη τεχνικὴ ὀπτικῆς φασματοσκοπίας.

Οἱ φερρίτες, γενικά, κυρίως λόγω τῶν ήμιαγωγικῶν τους ἴδιοτήτων βρίσκουν σημαντικὴ ἐφαρμογὴ ὡς καταλύτες σὲ ἀντιδράσεις τόσο τῆς Ἀνοργάνου ὅσο καὶ τῆς Ὁργανικῆς Χημείας (Z. Lotzios, 1986 καὶ οἱ περιεχόμενες σχετικές βιβλιογραφικὲς ἀναφορές). Τὰ τελευταῖα χρόνια ἡ μελέτη τῶν καταλυτικῶν ἴδιοτήτων τῶν φερριτῶν σὲ πιθανές ἐφαρμογές τους στὴν ἀντιμετώπιση τῶν προβλημάτων τῆς ρυπάνσεως τοῦ περιβάλλοντος ἔχει προκαλέσει ἔντονο ἐρευνητικὸ ἐνδιαφέρον (A. I. Xαραλάμπους, 1987 καὶ οἱ περιεχόμενες σχετικές βιβλιογραφικὲς ἀναφορές).

Κατά τὴν ἔργασία αὐτή μελετήθηκε ἡ καταλυτική δράση τῶν φερριτῶν τῶν λανθανιδῶν (δρυμοφερριτῶν καὶ γρανατῶν) στὴ θερμικὴ διάσπαση τῶν χλωρικῶν καὶ ὑπερχλωρικῶν ἀλάτων τοῦ καλίου καὶ τοῦ νατρίου, ἐπειδὴ θεωρήθηκε ἐνδιαφέρον νὰ συγκριθεῖ αὐτὴ μὲ τὴν καταλυτικὴ δράση τῶν σπινελλικῶν φερριτῶν νικελίου, ἡ δοπία ἀποτέλεσσε ἀντικείμενο προηγούμενης μελέτης (Z. Λοΐζος, 1986 καὶ Z. Λοΐζος, N. Σπυρόλλης, P. Σακελλαρίδης, 1987).

Τὰ δξεῖδια τῶν μετάλλων καὶ ἴδιαιτερα ἐκεῖνα τῶν στοιχείων μεταπτώσεως καταλύουν θετικὰ τὴν ἀντίδραση τῆς θερμικῆς διασπάσεως τόσο τῶν χλωρικῶν ὅσο καὶ τῶν ὑπερχλωρικῶν ἀνιόντων, φαινόμενο ποὺ ἀποδίδεται στὶς ἡμιαγωγικές τους ἴδιοτητες. Ἐχει βρεθεῖ (W. K. Rudloff, E. S. Freeman, 1970) ὅτι τὰ δξεῖδια, τὰ δοπία εἶναι ἡμιαγωγοὶ τύπου **p**, εἶναι πολὺ πιὸ δραστικοὶ καταλύτες ὡς πρὸς τὴν θερμικὴ διάσπαση τῶν χλωρικῶν καὶ τῶν ὑπερχλωρικῶν ἀλάτων σὲ σχέση μ' ἐκεῖνα, ποὺ εἶναι ἡμιαγωγοὶ τύπου **n**. Γιὰ τὴν ἀνάλυση τῶν πειραματικῶν ἀποτελεσμάτων ἐλήφθησαν ὑπόψη οἱ σύγχρονες ἀντιλήψεις σχετικὰ μὲ τὸ μηχανισμὸ τῆς θερμικῆς διασπάσεως τῶν χλωρικῶν καὶ τῶν ὑπερχλωρικῶν ἀλάτων παρουσίᾳ ἢ μὴ δξεῖδιν ὡς καταλυτῶν, δπως αὐτὲς διαμορφώθηκαν μὲ τὴ βοήθεια τῶν τεχνικῶν τῆς θερμικῆς ἀναλύσεως (TGA, DTA) (W. K. Rudloff, E. S. Freeman 1969, 1970 @ 1980 καὶ Z. Λοΐζος, N. Σπυρόλλης, P. Σακελλαρίδης, 1987).

2. ΠΕΙΡΑΜΑΤΙΚΗ ΔΙΑΔΙΚΑΣΙΑ

Στὴν ἔργασία αὐτῇ, ποὺ ἀποτελεῖ συνέχεια προηγουμένης ἔργασίας γιὰ τὴ μελέτη τῶν ἡμιαγωγικῶν καὶ καταλυτικῶν ἴδιοτήτων τῶν φερριτῶν τῶν στοιχείων τῶν λανθανιδῶν, ἐπιλέχτηκαν οἱ φερρίτες τοῦ ἑρβίου. Γιὰ τὴν παρασκευὴ τῶν διαφόρων δειγμάτων φερριτῶν ἑρβίου ἀκολουθήθηκε ἡ τεχνικὴ τῆς ὑγρᾶς ὁδοῦ (G. Winkler, 1976. A. I. Χαραλάμπους, 1987 κ.ά.). Παρασκευάσθηκαν, δηλαδή, μὲ τὴν τεχνικὴ τῆς συγκαταβυθίσεως ἔνυδρα μικτὰ δξεῖδια διαφόρων περιεκτικοτήτων σὲ σίδηρο καὶ ἑρβιο, τὰ δοπία στὴ συνέχεια ὑποβλήθηκαν σὲ πύρωση μέχρι τοὺς 1600 °C μὲ σταθερὸ ρυθμὸ ἀνόδου τῆς θερμοκρασίας 5 °C/min. Ἡ πύρωση πραγματοποιήθηκε μὲ τὴ βοήθεια θερμοκαναλυτῆ (θερμοζυγοῦ) τύπου *Netzsch* παρουσίᾳ ἀτμοσφαιρικοῦ ἀέρα. Συγκεκριμένα χρησιμοποιήθηκαν ἔνυδρα δξεῖδια τοῦ ἑρβίου καὶ τοῦ σιδήρου (συμβολιζόμενα χάριν συντομίας: $\varphi(\infty)$ καὶ $\varphi(0)$ ἀντίστοιχα) καὶ ἔνυδρα μικτὰ δξεῖδια τῶν ἴδιων στοιχείων ὑπὸ ἀναλογίες γραμμοστόμων Er ÷ Fe ἵσες πρός: 1 ÷ 4, 1 ÷ 2, 3 ÷ 5, 4 ÷ 5, 1 ÷ 1, 2 ÷ 1 καὶ 4 ÷ 1, συμβολιζόμενα ἀντίστοιχα $\varphi(1,4)$, $\varphi(1,2)$, $\varphi(3,5)$, $\varphi(4,5)$, $\varphi(1,1)$, $\varphi(2,1)$, καὶ $\varphi(4,1)$. Ἐπίσης παρασκευάσθηκαν δείγματα τῶν φερριτῶν $\varphi(1,1)$ καὶ $\varphi(3,5)$, τὰ δοπία πυρώθηκαν μέχρι

κάποια δρισμένη θερμοκρασία, διαφορετική κάθε φορά. Συγκεκριμένα πυρώθηκαν δείγματα τῶν δύο παραπάνω ἀναλογιῶν μέχρι τοὺς 800, 900, 1000, 1100, 1200, 1300, 1400, 1500 καὶ 1600 °C. Τὰ δείγματα αὐτὰ ἀποτελοῦν τυπικὲς περιπτώσεις φερριτῶν ἐρβίου (καὶ γενικότερα τῶν στοιχείων τῆς σειρᾶς τῶν λανθανιδῶν): 'Η σύσταση τοῦ φ(1,1) ἀντιστοιχεῖ σ' αὐτὴν τοῦ στοιχειομετρικοῦ ὀρθοφερρίτη ἐρβίου (ErFeO_3), ἐνῶ τοῦ φ(3,5) στὴ σύσταση τοῦ στοιχειομετρικοῦ γρανάτη ($\text{Er}_3\text{Fe}_5\text{O}_{12}$).

Γιὰ τὴν μελέτη τῆς καταλυτικῆς δράσεως τῶν παραπάνω φερριτῶν παρασκευάστηκε μιὰ σειρὰ μίγματων ἄλατος (KClO_3 , KClO_4 , NaClO_4) καὶ φερρίτη. Γιὰ δλα τὰ πειράματα ἐπιλέχτηκε ἡ ἀναλογία (moles ἄλατος) ÷ (g. at. ἐρβίου): $5 \div 1$, ἐπειδὴ στὰ μίγματα τῆς ἀναλογίας αὐτῆς ἡ ἀντίδραση τῆς θερμικῆς διασπάσεως ἐπιταχύνεται μὲν ἀρκετὰ ἀλλὰ συγχρόνως ἡ ταχύτητα τῆς δὲν εἶναι ὑπερβολικά μεγάλη, μὲν ἀποτέλεσμα νὰ εἶναι δυνατὴ ἡ παρακολούθηση ὅλων τῶν ἔκδηλουμένων φαινομένων. Τὰ μίγματα παρασκευάσθηκαν ὡς ἀκολούθως: Ζυγίστηκαν οἱ ἀπαιτούμενες ποσότητες φερρίτη καὶ ἄλατος καὶ στὴ συνέχεια ὑπέστησαν ἐπιμελημένη κονιοποίηση καὶ ὀνάμιξη. Τὰ μίγματα, μετὰ τὴν παραπάνω ἐπεξεργασία τους, πυρώθηκαν στὸ θερμοζυγό μὲν ρυθμὸν ἀνόδου τῆς θερμοκρασίας $2^{\circ}\text{C}/\text{mn}$ μέχρι πλήρους διασπάσεως τοῦ περιεχομένου σ' αὐτὰ ἄλατος. Τέλος, ἀπὸ τὰ διαγράμματα τῆς θερμικῆς ἀναλύσεως (TGA, DTA) κατασκευάστηκαν καμπύλες, ποὺ ἀπεικονίζουν τὸ ποσοστὸ τῆς συνολικῆς ἀπώλειας βάρους τοῦ δείγματος —τὸ ὅποιο ὀφείλεται στὸ ἐκλυόμενο ὀξυγόνο (O_2)— ποὺ συντελεῖται γιὰ κάθε θερμοκρασία. 'Η καταλυτικὴ δράση τῶν φερριτῶν ἐρβίου μελετήθηκε σὲ συνάρτηση μὲ διάφορες παραμέτρους. Συγκεκριμένα μελετήθηκε:

α. 'Η ἐπίδραση τῆς τελικῆς θερμοκρασίας πυρώσεως κατὰ τὴν παρασκευὴ τοῦ φερρίτη στὴν καταλυτικὴ δράση τῶν φερριτῶν.

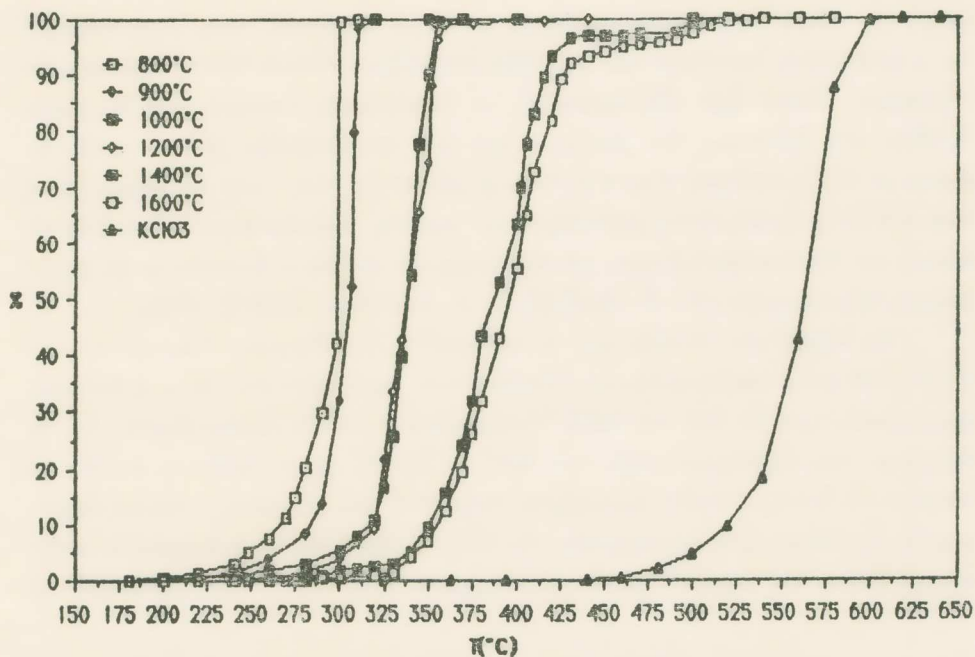
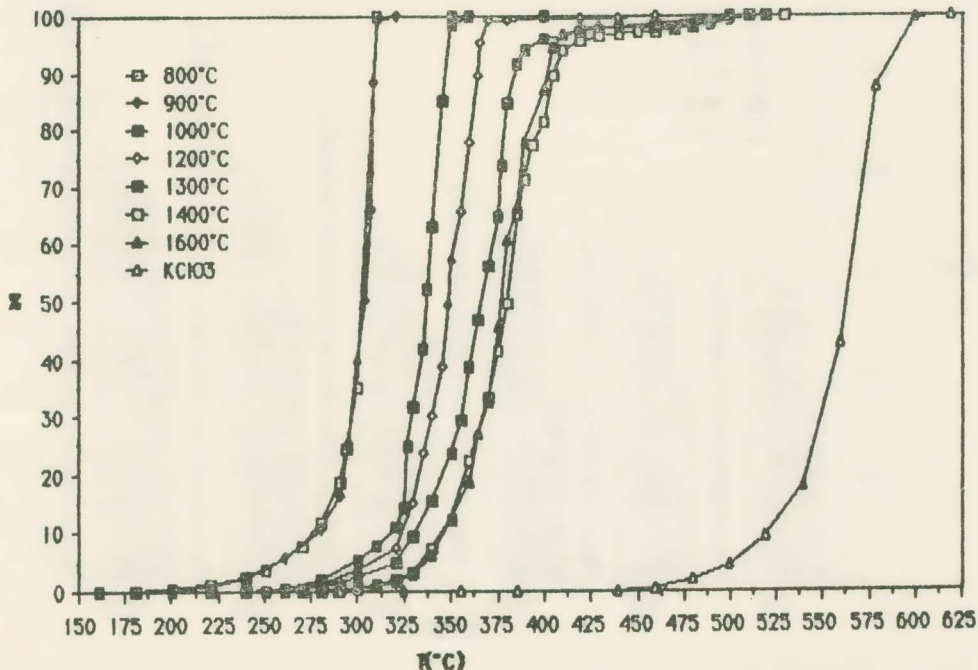
β. 'Η μεταβολὴ τῆς καταλυτικῆς δράσεως κατὰ τὴν πολλαπλὴ χρήση τοῦ ἕδιου δείγματος φερρίτη ὡς καταλύτου, καὶ:

γ. 'Η καταλυτικὴ δράση τῶν φερριτῶν, ποὺ πυρώθηκαν μέχρι τὴ θερμοκρασία τῶν 1600°C , διαφόρων ἀναλογιῶν γραμμοατόμων ἐρβίου-σιδήρου.

Τέλος, μὲ κατάλληλη τεχνικὴ ὀπτικῆς φασματοσκοπίας, μετρήθηκε τὸ εὔρος τῆς ἀπαγορευμένης ζώνης τῶν ἐπιμέρους συστατικῶν, ἀπὸ τὰ ὅποια ἀποτελοῦνται δρισμένα ἀντιπροσωπευτικὰ δείγματα φ(1,1) καὶ φ(3,5).

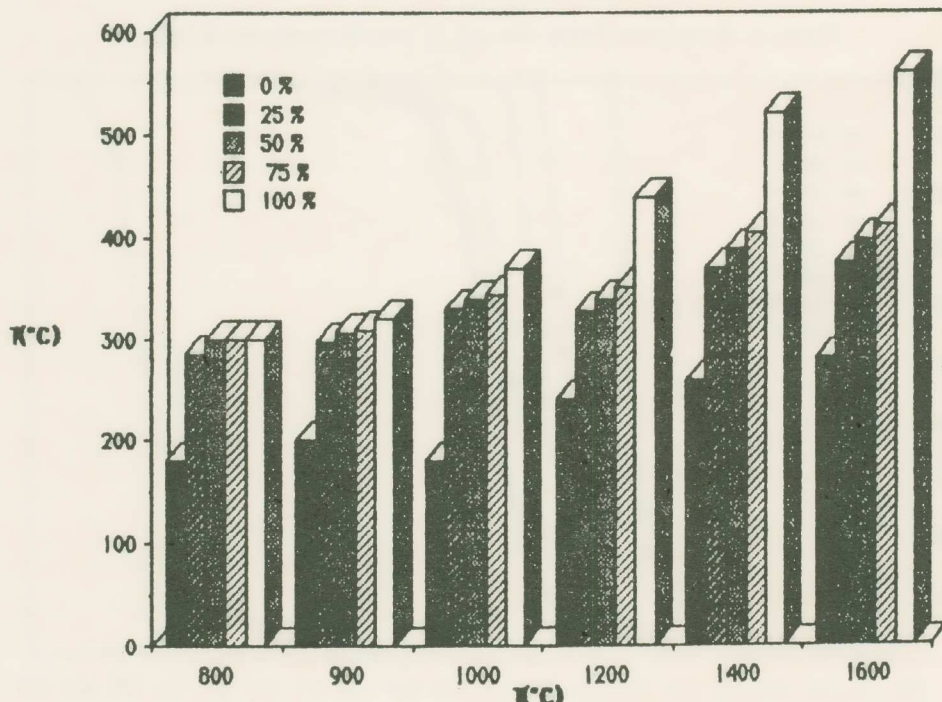
3. ΑΝΑΛΥΣΗ ΤΩΝ ΠΕΙΡΑΜΑΤΙΚΩΝ ΑΠΟΤΕΛΕΣΜΑΤΩΝ ΚΑΙ ΠΑΡΑΤΗΡΗΣΕΙΣ

Γιὰ τὴν μελέτη τῆς καταλυτικῆς δράσεως τῶν φερριτῶν ἐρβίου ἀρχικὰ ἔξετάσθηκε ἡ καταλυτικὴ συμπεριφορὰ τῶν φερριτῶν φ(1,1) καὶ φ(3,5) μὲ παρά-

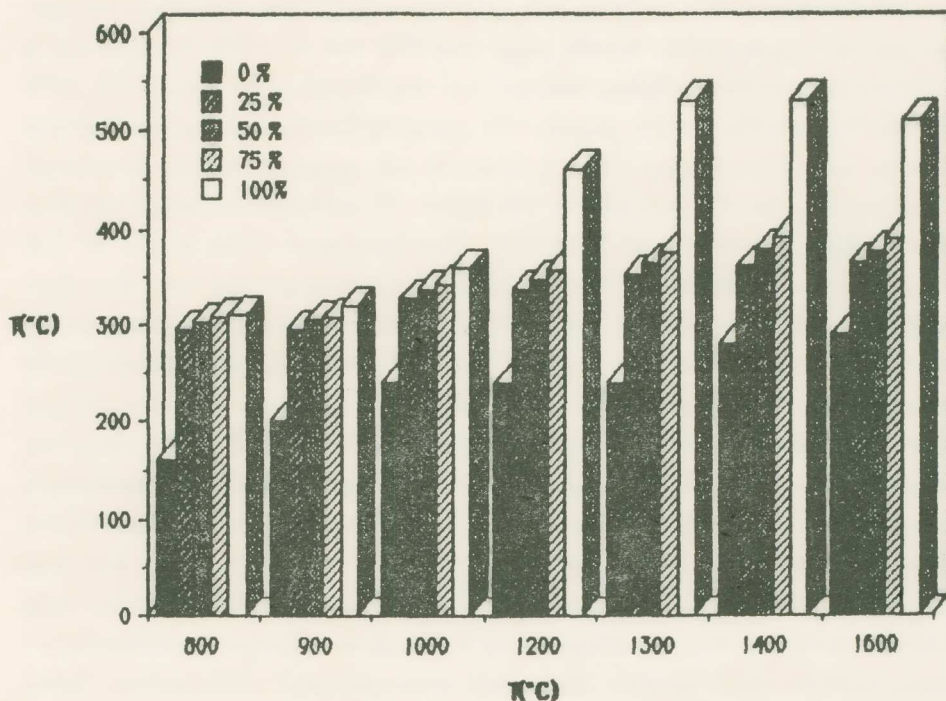
Σχήμα 1. Καταλυτική δράση τῶν φ(1,1) στὴ διάσπαση τοῦ KClO₃.Σχήμα 2. Καταλυτική δράση τῶν φ(3,5) στὴ διάπαση τοῦ KClO₃.

μετρο τὴν τελικὴ θερμοκρασία πυρώσεως κατὰ τὴν παρασκευή τους. Διαπιστώθηκε ὅτι ἡ καταλυτικὴ ίκανότητα τῶν φερριτῶν ἐπηρεάζεται ἔντονα ἀπὸ τὴν θερμοκρασία πυρώσεως. "Οπως ἔχει ἥδη ἀναφερθεῖ, οἱ καταλυτικὲς ἰδιότητες τῶν διαφόρων δέξιειδίων στὴ διάσπαση τῶν χλωρικῶν καὶ τῶν ὑπερχλωρικῶν ἀλάτων συνδέεται ἄλμεσα μὲ τὸν ἡμιαγωγικὸ τύπο η ἢ τύπου ρ χαρακτήρα τους. "Οσο πιὸ ἐκφρασμένος εἶναι ὁ η ἢ ρ ἡμιαγωγικὸς χαρακτήρας τοῦ φερρίτη, τόσο πιὸ ἴσχυρὴ εἶναι ἡ καταλυτικὴ του ἀποτελεσματικότητα, μὲ τὴν ἔννοια ὅτι τὰ ἀλατα διασπῶνται σὲ χαμηλότερες θερμοκρασίες (W. K. Rudloff, E. E. Freeman, 1970 @ 1980).

"Ἄς ληφθεῖ ὡς παράδειγμα ἡ περίπτωση τῆς θερμικῆς διασπάσεως τοῦ $KClO_3$ ἀπὸ φ(1,1) καὶ φ(3,5), ποὺ δείγματά τους πυρώθηκαν στὸν ἀέρα σὲ διάφορες θερμοκρασίες μεταξὺ 800 καὶ 1600 °C (σχήματα 1 καὶ 2). Διαπιστώνεται ὅτι τὰ δείγματα, ποὺ πυρώθηκαν μέχρι τοὺς 800 καὶ 900 °C χαρακτηρίζονται ἀπὸ ἔντονη καταλυτικὴ δράση, ἡ ὁποία περιορίζεται σημαντικὰ ὅσο αὐξάνεται ἡ τελικὴ θερμοκρασία πυρώσεως. Στὴ θερμοκρασία τῶν 1600 °C ἐμφανίζεται ἡ μικρότερη καταλυτικὴ δράση τῶν φερριτῶν αὐτῶν. Στὰ σχήματα 3 καὶ 4, τὰ ὅποια προέκυψαν μὲ



Σχῆμα 3. Μεταβολὴ τοῦ ποσοστοῦ διάσπασης τοῦ $KClO_3$ σὲ συνάρτηση μὲ τὴ θερμοκρασία πυρώσης τῶν φ(1,1).



Σχήμα 4. Μεταβολή του ποσοστού διάσπασης του KClO_3 σε συνάρτηση με τη θερμοκρασία πύρωσης τῶν $\varphi(3,5)$.

βάση τὰ σχήματα 1 καὶ 2, παρουσιάζεται ἡ θερμοκρασία συμπληρώσεως τῆς διασπάσεως δρισμένου ποσοστοῦ ἀλατος. "Ετσι, στὸ σχῆμα 3 εἰναι δυνατὸ νὰ παρατηρηθεῖ π.χ. ὅτι τὸ 50% τῆς ποσότητας τοῦ KClO_3 παρουσία τοῦ $\varphi(1,1)$, ποὺ πυρώθηκε μέχρι τοὺς 800°C , ἔχει διασπασθεῖ στοὺς 298°C , ἐνῶ παρουσία τοῦ $\varphi(1,1)$, ποὺ πυρώθηκε μέχρι τοὺς 1600°C , διασπᾶται στοὺς 396°C ($\Delta T: 98^{\circ}\text{C}$). Ἀνάλογη εἰναι καὶ ἡ καταλυτικὴ συμπεριφορὰ τῶν φερριτῶν $\varphi(3,5)$. "Οπως φαίνεται ἀπὸ τὸ σχῆμα 4. τὸ 50% τῆς ποσότητας τοῦ KClO_3 παρουσία τοῦ $\varphi(3,5)$, ποὺ πυρώθηκε μέχρι τοὺς 800°C , ἔχει διασπασθεῖ στοὺς 304°C , ἐνῶ ἡ ἵδια ποσότητα ἀλατος παρουσία τοῦ $\varphi(3,5)$, ποὺ πυρώθηκε μέχρι τοὺς 1600°C , διασπᾶται στοὺς 378°C ($\Delta T: 75^{\circ}\text{C}$).

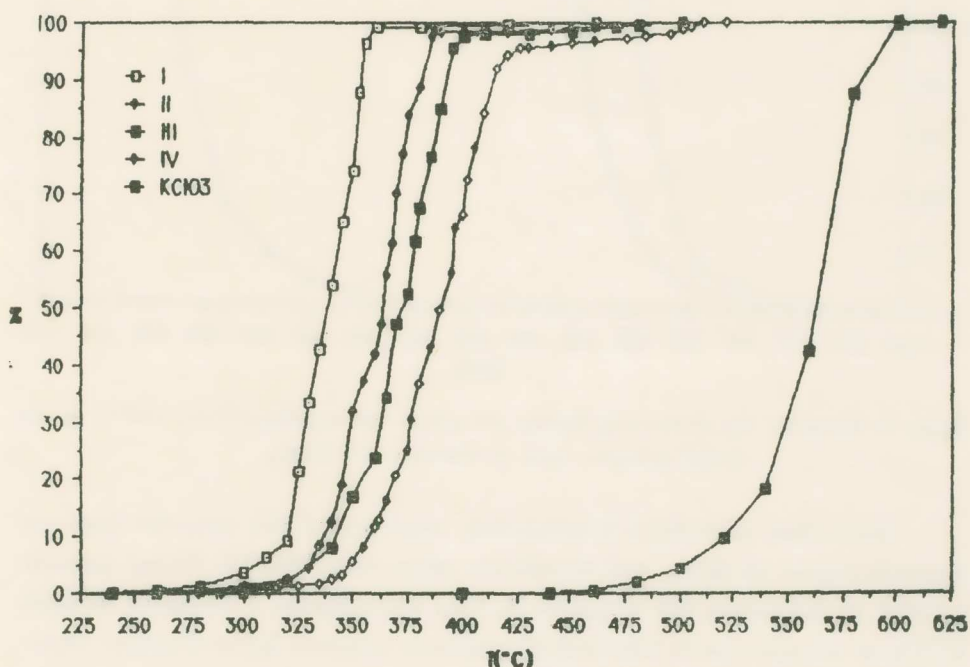
"Ανάλογη εἰναι καὶ ἡ καταλυτικὴ συμπεριφορὰ τῶν φερριτῶν $\varphi(1,1)$ καὶ $\varphi(3,5)$ στὴ θερμικὴ διάσπαση τοῦ NaClO_3 , ἐνῶ οἱ ἵδιοι φερρίτες ἐμφανίζονται λιγότερο ἀποτελεσματικοὶ ὡς πρὸς τὴ διάσπαση τῶν ἀντιστοίχων ὑπερχλωρικῶν ἀλάτων, γεγονὸς ποὺ ἀλλωστε ἀναμένεται ἐξαιτίας τῆς μεγαλύτερης σταθερότητας τῶν τελευταίων.

‘Η ἔντονη καταλυτική δράση τῶν φερριτῶν φ(1,1), ποὺ πυρώθηκαν σὲ σχετικὰ χαμηλές θερμοκρασίες, δηλαδὴ μέχρι τοὺς 800 καὶ τοὺς 900 °C, ἀλλὰ καὶ ἡ ἀξιοσημείωτη καταλυτικὴ δράση ἐκείνων, ποὺ πυρώθηκαν μέχρι τοὺς 1000, 1100 καὶ 1200 °C, ἀποδίδεται στὸ γεγονός ὅτι χαρακτηρίζονται ἀπὸ ἡμιαγωγιμότητα τύπου p. Στὶς θερμοκρασίες αὐτὲς ἡ σύσταση τῶν φερριτῶν φ(1,1) ἀντιστοιχεῖ σὲ δρυθοφερρίτη, γρανάτη καὶ ὁξείδιο τοῦ ἐρβίου. Οἱ δρυθοφερρίτες καὶ οἱ γρανάτες τῶν στοιχείων τῆς σειρᾶς τῶν λανθανιδῶν εἶναι ἡμιαγωγοὶ τύπου p (H. B. Lal et al., 1982. G. Y. Subba Rao et al., 1971).’ Η ἡμιαγωγιμότητά τους εἶναι ἀποτέλεσμα τῆς ὑπάρξεως ἀταξιῶν στὸ κρυσταλλικὸ πλέγμα τους καὶ τῆς δημιουργίας τετρασθενῶν μεταλλοκατιόντων σιδήρου (Fe^{4+}). ‘Η παρουσία τῶν ἀταξιῶν αὐτῶν προέκυψε ἀπὸ τὴ διαδικασία τῆς βαρῆς (ἀπότομης ψύξεως), ποὺ ἐφαρμόστηκε γιὰ τὴν παρασκευὴ φερριτῶν ὄρισμένης συστάσεως. Κατὰ τὴ διάρκεια αὐτῆς τῆς διαδικασίας εἶναι δυνατὸ νὰ ἀπορροφηθεῖ περισσότερο ὁξυγόνο μὲ ἀποτέλεσμα τὴ δημιουργία κενῶν πλεγματικῶν θέσεων μεταλλοκατιόντων. ’Η ἀπαιτούμενη ἐνέργεια ἐνεργοποιήσεως, ποὺ παρέχεται σ’ αὐτὴν τὴ θερμοκρασία, ἐπιτρέπει λόγω τῆς παρουσίας τῶν μεταλλοκατιόντων Fe^{4+} τὴ μεταπήδηση ἡλεκτρονίων πρὸς αὐτὰ ἀπὸ γειτονικὰ τους μεταλλοκατιόντα Fe^{3+} , μὲ ἀποτέλεσμα τὴν ἐκδήλωση κινήσεως θετικῶν ὀπῶν (φορέων ἡλεκτρικῆς ἀγωγιμότητας). Αὐξανομένης, δημος, τῆς τελικῆς θερμοκρασίας πυρώσεως, περιορίζεται προοδευτικὰ ἡ παραπάνω περίσσεια ὁξυγόνου μὲ συνέπεια τὴν αἰσθητὴ μείωση τῆς συγκεντρώσεως τῶν ὀπῶν, δηλαδὴ τῶν μεταλλοκατιόντων Fe^{4+} . Σὲ θερμοκρασίες μεγαλύτερες τῶν 1400 °C, ὅπου ἔχει ἀπομακρυνθεῖ τὸ μεγαλύτερο μέρος τοῦ ὁξυγόνου, ἡ ἡλεκτρικὴ ἀγωγιμότητα τῶν φερριτῶν φ(1,1) μειώνεται αἰσθητά. ’Ετσι, οἱ φερρίτες αὐτοὶ χαρακτηρίζονται ἀπὸ σχετικὰ περιορισμένη καταλυτικὴ δράση.

‘Η ἔντονη καταλυτικὴ δράση τῶν φερριτῶν φ(3,5), ποὺ πυρώθηκαν μέχρι σχετικὰ χαμηλές θερμοκρασίες (800 καὶ 900 °C), ἀποδίδεται στὴν παρουσία τῆς φάσεως τοῦ γρανάτη, λόγω τοῦ ἐκφρασμένου τῆς τύπου p ἡμιαγωγικοῦ χαρακτήρα. ’Αξίζει νὰ σημειωθεῖ ὅτι οἱ φερρίτες φ(3,5) χαρακτηρίζονται ἀπὸ τὴ μεγαλύτερη καταλυτικὴ δράση σὲ σχέση μὲ τοὺς ὑπόλοιποὺς φερρίτες, ἐπειδὴ περιέχουν τὸ μεγαλύτερο ποσοστὸ γρανάτη στὴ σύστασή τους. ’Οπως προαναφέρθηκε ἥδη, ἡ αὔξηση τῆς θερμοκρασίας συνεπάγεται τὸν περιορισμὸ τοῦ ἀριθμοῦ τῶν κενῶν πλεγματικῶν θέσεων μὲ ἀποτέλεσμα τὸν ταυτόχρονο περιορισμὸ καὶ τοῦ ἀριθμοῦ τῶν ὀπῶν καὶ, ἐπομένως, τὴν αἰσθητὴ μείωση τῆς ἡλεκτρικῆς τους ἀγωγιμότητας καὶ παράλληλα τῆς καταλυτικῆς τους δράσεως.

Στὴ συνέχεια μελετήθηκε ἡ δυνατότητα πολλαπλῶν χρήσεων τοῦ ἕδιου δείγματος φερρίτη ὡς καταλύτη. Γιὰ τὸ σκοπὸ αὐτὸ ἐπιλέχθηκαν δείγματα φερριτῶν

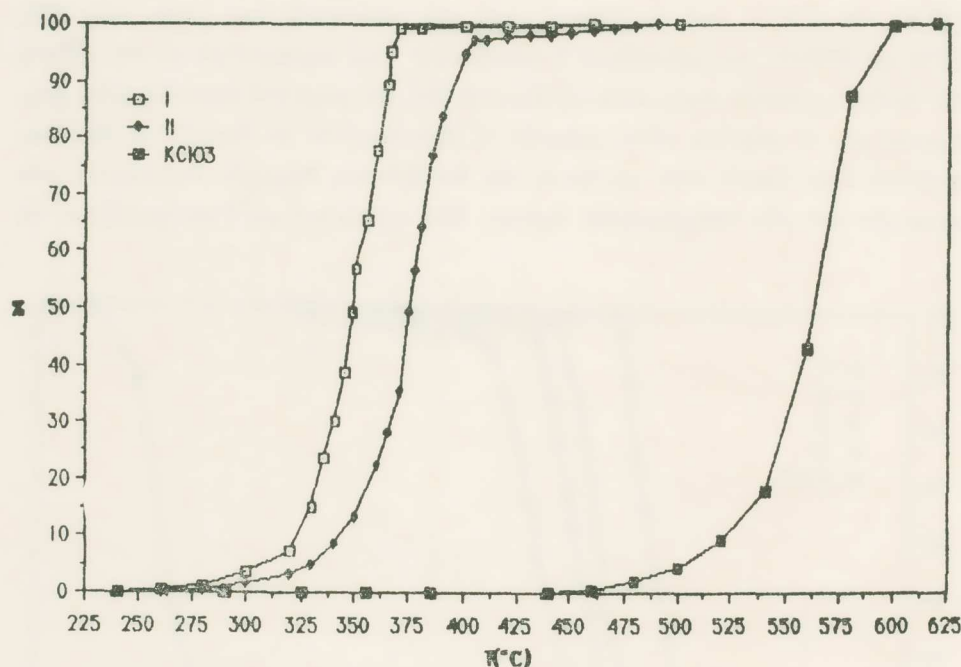
$\phi(1,1)$ και $\phi(3,5)$, που πυρώθηκαν κατά τήν παρασκευή τους μέχρι τούς 800, 1200 και 1600°C και μελετήθηκε ή καταλυτική τους συμπεριφορά μὲ τήν αύξηση τοῦ ἀριθμοῦ χρήσεών τους, ώστε νὰ ἐξακριβωθεῖ, ἀν, μετά ἀπὸ ἐπανειλημμένη χρησιμοποίηση, οἱ φερρίτες αὐτοὶ μποροῦν νὰ ἐξακολουθοῦν νὰ θεωροῦνται ἀποτελεσματικοὶ ὅσον ἀφορᾶ στήν κατάλυση τῆς ἀντιδράσεως θερμικῆς διασπάσεως τῶν χλωρικῶν καὶ τῶν ὑπερχλωρικῶν ἀλάτων. Στὰ σχήματα 5 καὶ 6 παρουσιάζεται ὡς



Σχήμα 5. Μεταβολὴ τῆς καταλυτικῆς δράσης τοῦ $\phi(1,1)$ που πυρώθηκε στούς 1200°C μὲ τὸν ἀριθμὸν χρήσεων, κατὰ τὴ διάσπαση τοῦ KClO_3

παράδειγμα ἡ μεταβολὴ τῆς καταλυτικῆς ἀποτελεσματικότητας τῶν φερριτῶν $\phi(1,1)$ καὶ $\phi(3,5)$ ἀντίστοιχα, που πυρώθηκαν μέχρι τούς 1200°C ὡς πρὸς τὴ θερμικὴ διάσπαση τοῦ KClO_3 . "Οπως διαπιστώνεται καὶ ἀπὸ τὰ ἀντίστοιχα ἴστογράμματα (σχήματα 7 καὶ 8), ἡ ἐπανειλημμένη χρήση τῶν ἵδιων φερριτῶν ὁδηγεῖ σὲ προοδευτικὸ περιορισμὸ τῆς καταλυτικῆς ἀποτελεσματικότητάς τους.

"Ανάλογα, διαπιστώνεται ὅτι ἡ ἐπανειλημμένη χρήση τῶν ἵδιων φερριτῶν ὡς καταλυτῶν γιὰ τὴ θερμικὴ διάσπαση τοῦ χλωρικοῦ νατρίου καὶ τῶν ὑπερχλωρικῶν ἀλάτων ὁδηγεῖ σὲ μείωση τῆς καταλυτικῆς τους δράσεως.

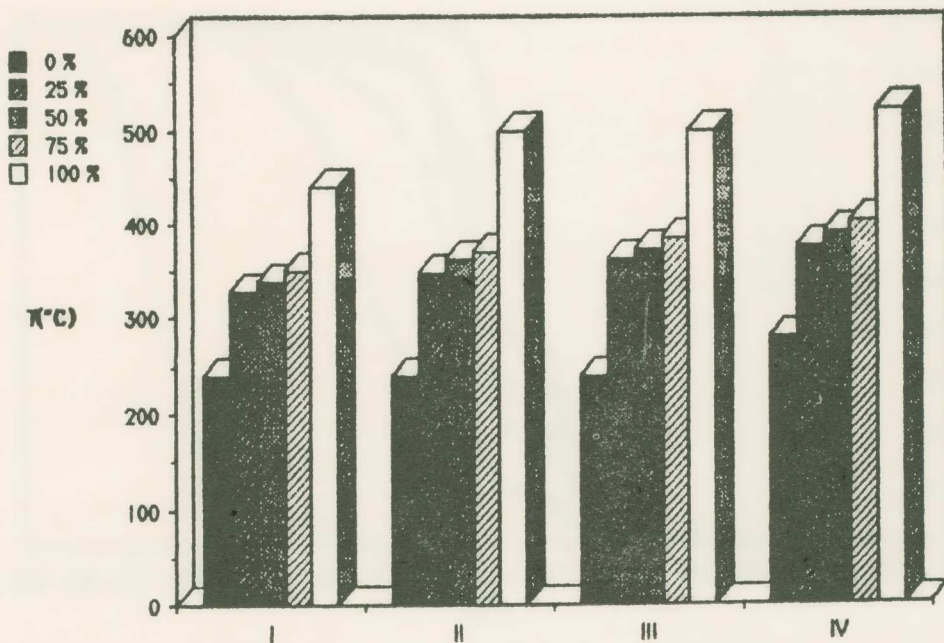


Σχήμα 6. Μεταβολή της καταλυτικής δράσης του φ(3,5) που πυρώθηκε στους 1200°C με τὸν ἀριθμὸν χρήσεων, κατὰ τὴ διάσπαση τοῦ KClO₃.

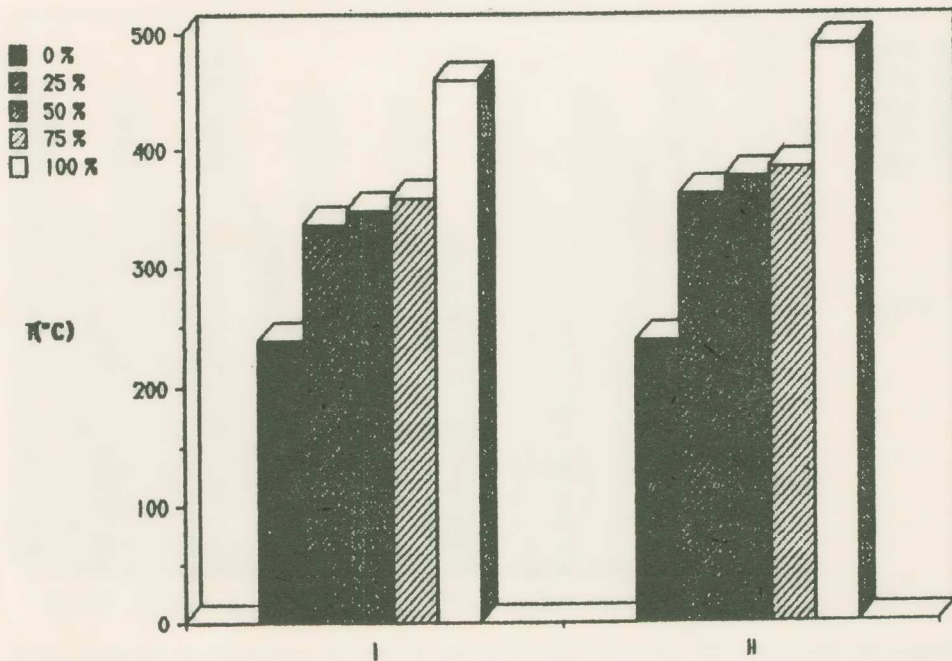
Ακολούθως μελετήθηκε ἡ καταλυτική συμπεριφορὰ τῶν φερριτῶν διαφόρων περιεκτικοτήτων σὲ ἔρβιο, πουν πυρώθηκαν μέχρι τοὺς 1600°C. Οπως φαίνεται καὶ ἀπὸ τὸ διάγραμμα τοῦ σχήματος 9, ὅπου περιγράφεται ἡ διάσπαση καθαροῦ KClO₃ σὲ σύγκριση μὲ τὴ διάσπασή του παρουσίᾳ φερριτῶν ἔρβιου διαφόρων περιεκτικοτήτων σὲ ἔρβιο καὶ σίδηρο, καὶ ἀπὸ τὸ ἴστογραμμα (σχῆμα 10), που προκύπτει μὲ βάση αὐτό, διαπιστώνονται τὰ ἔξη:

Τὴ μεγαλύτερη καταλυτικὴ δράση ἐμφανίζουν κατὰ σειρὰ οἱ φερρίτες φ(3,5), φ(1,1) καὶ φ(4,5). Ετοι, ἡ καταλυτικὴ δράση τῶν φερριτῶν ἀποδίδεται κυρίως στὴν ἡλεκτρικὴ ἀγωγιμότητα τοῦ γρανάτη καὶ τοῦ ὀρθοφερρίτη, που εἶναι καὶ οἱ ἐπικρατέστερες φάσεις γιὰ τὰ δείγματα τῶν παραπάνω ἀναλογιῶν (A. I. Χαραλάμπους, 1987), ἐνῶ δὲν φαίνεται νὰ ἐπηρεάζεται σημαντικὰ ἀπὸ τὴν παρουσία τῶν ἄλλων φάσεων, δηλαδὴ τοῦ αἰματίτη, τοῦ μαγνητίτη καὶ τοῦ ὀξειδίου τοῦ ἔρβιου, οἱ ὁποῖες χαρακτηρίζονται ἐπίσης ἀπὸ ἡλεκτρικὴ ἀγωγιμότητα τῆς περιοχῆς τῶν ἡμιαγωγῶν.

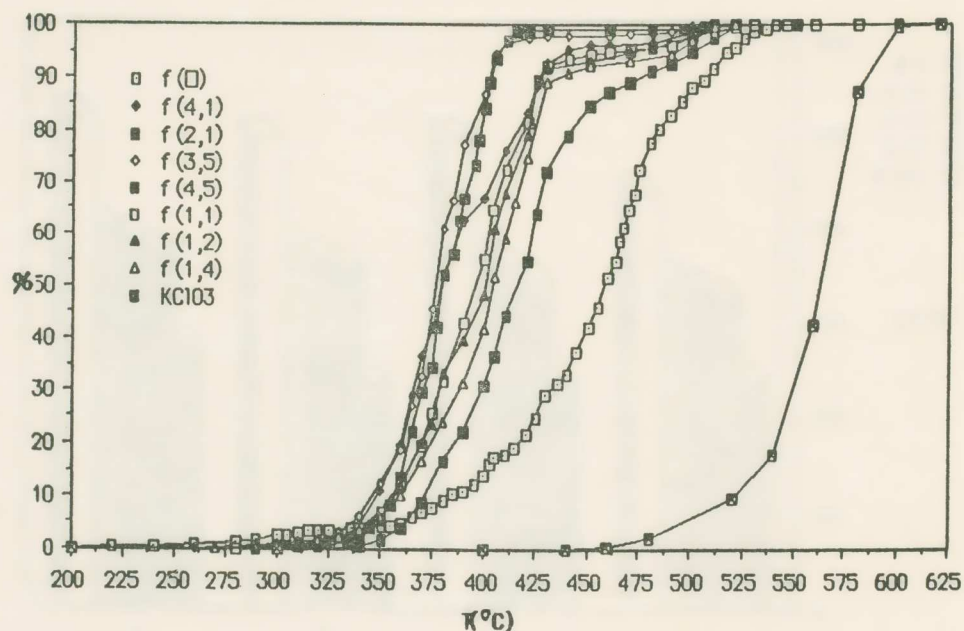
Τὴ μικρότερη καταλυτικὴ δράση ἐμφανίζει τὸ δεῖγμα φ(∞), ἡ σύσταση τοῦ ὅποιου ἀντιστοιχεῖ σὲ καθαρὸ ὀξειδίο τοῦ ἔρβιου.



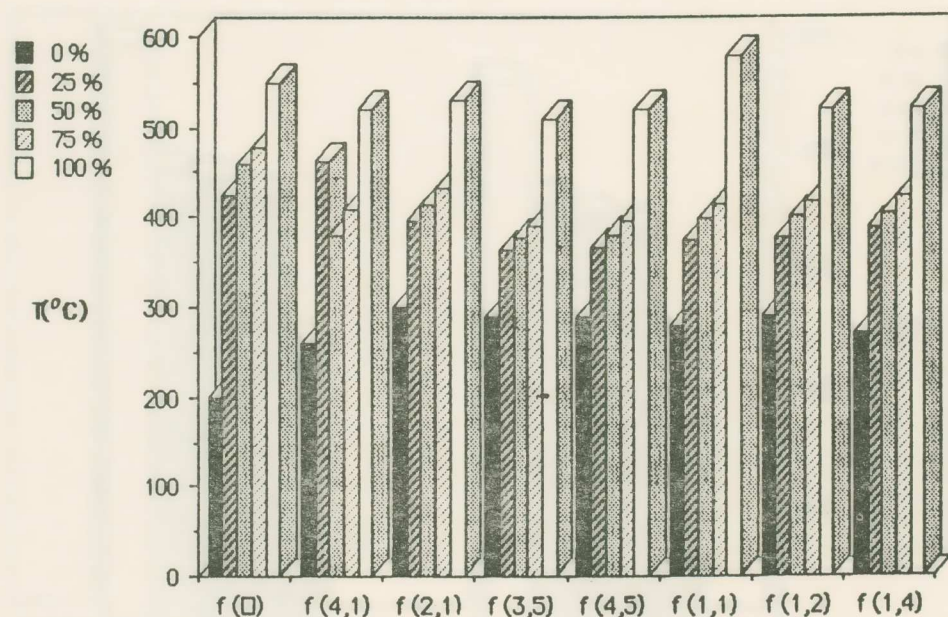
Σχήμα 7. Μεταβολή του ποσοστού διάσπασης του KClO_3 σε συνάρτηση με τὸν ἀριθμὸν χρήσεων τοῦ φ(1,1) ποὺ πυρώθηκε στοὺς 1200°C .



Σχῆμα 8. Μεταβολὴ τοῦ ποσοστοῦ διάσπασης του KClO_3 σε συνάρτηση μὲ τὸν ἀριθμὸν χρήσεων τοῦ φ(3,5) ποὺ πυρώθηκε στοὺς 1200°C .



Σχήμα 9. Καταλυτική δράση των φερριτών διαιφόρων όνταλογιών g. at. Er/Fe στή διάσπαση του KClO_3 .



Σχήμα 10. Μεταβολή του ποσοστού διάσπασης του KClO_3 σε συνάρτηση με τήν όνταλογία g. at. Er/Fe των φερριτών.

Ανάλογη είναι και ή συμπεριφορά τῶν διαφόρων φερριτῶν ἐρβίου στὴ θερμικὴ διάσπαση τοῦ NaClO_3 . Αξίζει νὰ σημειωθῇ ὅτι οἱ διάφοροι φερρίτες ἐρβίου, ποὺ παρασκευάστηκαν, παρουσιάζονται λιγότερο δραστικοὶ ὡς πρὸς τὴν κατάλυση τῆς θερμικῆς διασπάσεως τοῦ NaClO_3 , παρὰ τὸ γεγονός ὅτι τὸ KClO_3 είναι θερμικὸς σταθερότερο.

Τέλος, ἀπὸ τὶς τιμὲς τοῦ εύρους τῆς ἀπαγορευμένης ζώνης (E_g) τῶν δειγμάτων φ(1,1) καὶ φ(3,5), οἱ δποῖες προέκυψαν μὲν κατάλληλη τεχνικὴ ὄπτικης φασματοσκοπίας καὶ είναι τῆς τάξεως τῶν 2 eV, ἐπιβεβαιώνεται τόσο ἡ παρουσία τοῦ ὀρθοφερρίτη, τοῦ γρανάτη καὶ τοῦ ὁξειδίου τοῦ ἐρβίου ὡς διακεκριμένων φάσεων, ὃσο καὶ ὁ ήμιαγωγικὸς χαρακτήρας τους.

4. ΑΝΑΚΕΦΑΛΑΙΩΣΗ ΚΑΙ ΣΥΜΠΕΡΑΣΜΑΤΑ

Γιὰ τὴ μελέτη τῶν καταλυτικῶν ἰδιοτήτων τῶν φερριτῶν τῶν στοιχείων τῆς σειρᾶς τῶν λανθανιδῶν ἐπιλέχθησε ἡ ἀντίδραση τῆς θερμικῆς διασπάσεως τῶν χλωρικῶν καὶ τῶν ὑπερχλωρικῶν ἀλάτων τοῦ καλίου καὶ τοῦ νατρίου, ἡ δποία πραγματοποιήθηκε παρουσίᾳ φερριτῶν ἐρβίου. Ή καταλυτικὴ δράση τῶν φερριτῶν ἀποδίδεται στὶς ήμιαγωγικές τους ἰδιότητες καὶ είναι τόσο πιὸ ισχυρή, ὃσο μεγαλύτερη είναι καὶ ἡ ἡλεκτρικὴ τους ἀγωγιμότητα. Ή καταλυτικὴ δράση τῶν φερριτῶν ἐρβίου μελετήθηκε μὲν παραμέτρους:

- 1) Τὶς τελικές θερμοκρασίες πυρώσεως.
- 2) Τὸν ἀριθμὸν χρήσεων τοῦ ἴδιου δείγματος φερρίτη ὡς καταλύτη, καὶ
- 3) Τὴν περιεκτικότητα τοῦ φερρίτη σὲ ἐρβιο.

Διαπιστώθηκαν τὰ ἀκόλουθα:

α. "Οσον ἀφορᾶ στὴ θερμικὴ διάσπαση τοῦ χλωρικοῦ καλίου, διαπιστώθηκε μεγάλη καταλυτικὴ δραστικότητα γιὰ τοὺς φερρίτες φ(3,5) καὶ φ(1,1), ποὺ πυρώθηκαν στὶς θερμοκρασίες τῶν 800 καὶ 900 °C. Ή καταλυτικὴ δραστικότητα τῶν φ(3,5) καὶ φ(1,1) παρουσιάζει συνεχὴ μείωση μὲ τὴν αὔξηση τῆς θερμοκρασίας πυρώσεως κατὰ τὴν παρασκευή τους. Ή συμπεριφορὰ αὐτὴ ἀποδίδεται στὸ γεγονός ὅτι τὰ ὄλικὰ αὐτὰ χαρακτηρίζονται ἀπὸ ήμιαγωγιμότητα τύπου P , τῆς δποίας πλειοψηφοῦντες φορεῖς είναι οἱ δπές, λόγω τῆς παρουσίας μικροῦ ἀριθμοῦ μεταλλοκατιόντων τετρασθενοῦς σιδήρου (Fe^{4+}). Μὲ τὴν αὔξηση τῆς θερμοκρασίας πυρώσεως, λόγω ἀποβολῆς ὁξυγόνου, μειώνεται ἡ συγκέντρωση τῶν δπῶν (δηλαδὴ τῶν μεταλλοκατιόντων Fe^{4+}) καὶ κατὰ συνέπεια καὶ ἡ καταλυτικὴ δράση.

β. 'Ανάλογη είναι καὶ ἡ συμπεριφορὰ τῶν φερριτῶν φ(1,1) καὶ φ(3,5) ὡς πρὸς τὴ θερμικὴ διάσπαση τοῦ χλωρικοῦ νατρίου, ἐνῶ ἡ θερμικὴ διάσπαση τῶν

ἀντιστοίχων ὑπερχλωρικῶν ἀλάτων φαίνεται νὰ ἐπηρεάζεται πολὺ λιγότερο ἀπὸ τὴν παρουσία τους.

γ. Ἡ καταλυτικὴ συμπεριφορὰ φερριτῶν διαφόρων περιεκτικοτήτων σὲ ἔρβιο, ποὺ πυρώθηκαν μέχρι τοὺς 1600 °C, δείχνει ὅτι οἱ φερρίτες ἔρβίου εἶναι γενικὰ ἀποτελεσματικοὶ καταλύτες ὡς πρὸς τὴν θερμικὴν διάσπαση τοῦ χλωρικοῦ καλίου καὶ νατρίου. Τὴν μεγαλύτερην καταλυτικὴν δράσην ἔμφανίζουν κατὰ σειρὰ οἱ φερρίτες: φ(3,5), φ(1,1) καὶ φ(4,5).

δ. Ἡ πολλαπλὴ χρήση τῶν ἰδιων δειγμάτων φερριτῶν γιὰ τὴν διάσπαση νέων ποσοτήτων ἀλατος ὁδηγεῖ σὲ μείωση τῆς καταλυτικῆς τους δραστικότητας.

ε. Ἐπιβεβαιώθηκε, τέλος, μὲ μετρήσεις τοῦ εὔρους τῆς ἀπαγορευμένης ζώνης, ὡς ἡμιαγωγικὸς χαρακτήρας τῶν φερριτῶν ἔρβίου.

ΒΙΒΛΙΟΓΡΑΦΙΑ

- Bozorth, R. M.-Kramer V.-Remeika J. P., *Phys. Rev. Lett.*, **1**, 3 (1958).
- Elwell, D.-Dixon A., *Solid State Commun.*, **6**, 585 (1968).
- Forestier H.-Guillot-Guillain G., *Compt. Rend. Acad. Sci. Paris*, **230**, 1844 (1950).
- Gorodetsky G.-Sharon, B.-Shtrikman S., *J. Appl. Phys.*, **39**, 1371 (1968).
- Χαραλάμπους Α. Ι., «Μελέτη της έπιθρασης της παρασκευαστικής διαδικασίας στις φυσικοχημικές ίδιότητες των φερριτών των στοιχείων της σειρᾶς των λανθανιδών. Έφαρμογή στις καταλυτικές ίδιότητες» (Διδακτορική Διατριβή) (1987).
- Jonker G. H., *Physica*, **20**, 1118 (1954).
- Καγκαράκης, Κ., «Ηλεκτροτεχνικά 'Τλικά», 'Αθήνα (1986).
- Ksendsov, Ya. M.-Koten N. A. M., Markov, V. V., *Sov. Phys. Solid State* (Engl. Transl.), **15**, 1563 (1974).
- Lal H. B.-Verma, B. K.-Vijayee V. R., *J. Mater. Sci.*, **17**, 3317 (1982).
- Larsen, P. K.-Metselaar, R., *Phys. Rev.*, B **14**, 2520 (1976).
- Λοτζος Ζ.: «Μελέτη της έπιθρασης της παρασκευαστικής διαδικασίας στις φυσικοχημικές ίδιότητες σπινελικών φερριτών νικελίου. Έφαρμογή στις καταλυτικές ίδιότητες». (Διδακτορική Διατριβή) (1986).
- Λοτζος Ζ.-Σπυρέλλης Ν.-Σακελλαρίδης Π., Πρακτικά 'Ακαδημίας 'Αθηνών **62**, σ. 370 (1987).
- Rudloff, W. L.-Freeman E. S., *J. Phys. Chem.*, **73**(5), 1209 (1969).
- Rudloff W. K.-Freeman E. S., *J. Phys. Chem.*, **74**(18), 3317 (1970).
- Rudloff, W. K.-Freeman E. S., *J. Therm. Anal.*, **18**, 359 (1980).
- Schieber M. M., «Experimental Magnetochemistry: Nonmetallic Magnetic Materials» από «Selected Topics in Solid State Physics», τόμ. VIII (*Wohlfarth, North Holland Publishing Company*), Amsterdam (1967).
- Subba Rao, G. V.-Wanklyn, B. M. Rao, G. N. R., *J. Phys. Chem. Solids*, **32**, 345 (1971).
- Winkler G., «Crystallography, Chemistry and Technology of Ferrites» από «Inter-University Electronic Series», τόμ. **13**, «Magnetic Properties of Materials» (Εκδ. Jan Smit., «Mc Graw-Hill Book Company») (1976).
- Yadava, V. R.-Lal, H. B., *Jap. J. Appl. Phys.*, **18**, 2229 (1979).
- Yadava, V. R., Διδακτορική Διατριβή, Gorakhpur University, India (1980).

SUMMARY

Semiconductive properties and catalytic behavior of ferrites of the rare earth elements

In this work, for the study of the catalytic properties of the rare earth ferrites, the reaction chosen was that of the thermal decomposition of potassium and sodium chlorates and perchlorates, using *erbium ferrites* as catalysts.

The erbium ferrites are mixed iron and erbium oxides and can form, depending on their (g. at. Er) ÷ (g. at. Fe) ratio, *erbium iron garnets* or *erbium orthoferrites*.

The preparation procedure followed, in order to obtain the ferrites, crucially affects their composition. The garnet, orthoferrite, hematite, magnetite and erbium oxide phases present, depend on the firing temperature used and on the starting ratio of erbium and iron oxides. Specifically, the various ferrites were prepared from pure erbium and iron hydroxides as well as hydrated mixed oxides with (g. at. Er) ÷ (g. at. Fe) ratio of 1 ÷ 4, 1 ÷ 2 3 ÷ 5, 4 ÷ 5, 1 ÷ 1, 2 ÷ 1 and 4 ÷ 1 by firing at 1600°C. Also erbium ferrites of the two critical mixtures (3 ÷ 5 and 1 ÷ 1) were fired at a designated temperature, varying each time within the range of 800-1600°C.

The catalytic activity of the ferrites is attributed to their semiconductive properties, and the higher their electrical conductivity is, the better their catalytic activity is exhibited. Thus:

1. In the case of the thermal decomposition of potassium chlorate it was found that the ferrites with an erbium to iron g. at ratio of 3 ÷ 5 and 1 ÷ 1 had an enhanced catalytic activity when fired at 800 and 900°C. The activity showed a continuous decrease with the increase of the firing temperature during their preparation. This behavior may be attributed to the fact that these substances are characterised as p type semiconductors because of the presence of a small number of Fe^{4+} metal cations. With the increase of the firing temperature, due to the loss of oxygen, there is a decrease in the concentration of the holes, i.e. the Fe^{4+} cations, which subsequently results in a decrease of the catalytic activity.

2. A similar behavior of the above ferrites is exhibited in the thermal decomposition of sodium chlorate, while the thermal decomposition of the

respective perchlorates is affected considerably less by the presence of erbium ferrites.

3. The catalytic behavior of the ferrites with varying starting erbium to iron ratios, that were fired up to 1600°C, indicates that in general erbium ferrites are effective as catalysts in the thermal decomposition of potassium and sodium chlorates. The highest catalytic activity is observed in order by the samples with erbium to iron g. at. ratio of 3÷5, 1÷1 and 4÷5.

4. The repeated use of the same ferrite for the decomposition of new quantities of potassium and sodium chlorates and perchlorates results in a decrease of the catalytic activity.

5. Finally, the semiconductive character of all phases present in the various erbium ferrites prepared was confirmed by the gap energy values obtained, using a suitable optical spectrophotometry method.